

# 神经酰胺促胃癌 SGC7901 细胞凋亡的实验

刘 莹<sup>1</sup>,朱祖安<sup>2</sup>,费素娟<sup>2</sup>,刘 磊<sup>1</sup>,孙 曼<sup>2</sup>,张秋月<sup>2</sup>

## Ceramide Promoting Apoptosis of SGC7901 Cell

LIU Ying<sup>1</sup>, ZHU Zu-an<sup>2</sup>, FEI Su-juan<sup>2</sup>, LIU Lei<sup>1</sup>, SUN Min<sup>2</sup>, ZHANG Qiu-yue<sup>2</sup>

1. Department of Pathology, Xuzhou Medical College, Xuzhou 221000, China; 2. Department of Gastroenterology, Affiliated Hospital of Xuzhou Medical College

Corresponding Author: ZHU Zu-an, E-mail: zuanwudi@yahoo.com.cn

**Abstract:** Objective To investigate the role of ceramide on apoptosis of human gastric cancer SGC7901 cells and its possible mechanism. Methods SGC7901 cells were incubated and treated with the different concentration of ceramide, DDP, DDP in combination with ceramide. Then the inhibitory effect, the apoptosis rate and the expressions of NF- $\kappa$ B, Bcl-2, Bax were detected by MTT assay, flow cytometry, immunocytochemistry staining and western blot assay. Results The proliferation of SGC7901 cells was inhibited by ceramide at the concentration of 2.5  $\mu$ mol/L compared with control group ( $P < 0.05$ ). Ceramide in combination with DDP showed significant differences compared with ceramide and DDP group respectively ( $P < 0.05$ ), the  $q$  value at 24, 48, 72 h was 1.05, 1.01, 0.99 respectively. Ceramide, DDP could induce apoptosis of SGC7901, the apoptosis rate of ceramide 5  $\mu$ mol/L, DDP 2.5 mg/L and Ceramide 5  $\mu$ mol/L in combination with DDP 2.5 mg/L group were  $(39.23 \pm 1.62)\%$ ,  $(47.27 \pm 1.13)\%$ ,  $(50.13 \pm 2.76)\%$  respectively, which showed significant difference compared with control group [ $(18.46 \pm 1.64)\%$ ] ( $P < 0.05$ ). Ceramide in combination with DDP showed significant differences compared with ceramide and DDP group respectively ( $P < 0.05$ ). The expressions of NF- $\kappa$ B, Bcl-2 were strong in SGC7901 [(74.10  $\pm$  2.69)%],  $(69.37 \pm 4.54)\%$ ], while Bax was weak [(24.60  $\pm$  3.73)]%, the expressions of NF- $\kappa$ B, Bcl-2 decreased in Ceramide 5  $\mu$ mol/L, DDP 2.5 mg/L group and Ceramide 5  $\mu$ mol/L in combination with DDP 2.5 mg/L group ( $65.13 \pm 1.71$ ,  $62.17 \pm 2.12$ ,  $44.8 \pm 3.65$ ;  $57.70 \pm 2.22$ ,  $55.13 \pm 5.77$ ,  $37.67 \pm 2.14$ ), while Bax increased ( $33.80 \pm 1.10$ ,  $35.50 \pm 2.27$ ,  $51.73 \pm 3.76$ ) ( $P < 0.05$ ). The ratio of Bcl-2/Bax decreased after treated with ceramide, DDP and ceramide in combination with DDP. There is positive correlation between the expressions of NF- $\kappa$ B and Bcl-2 (Spearman's rho = 0.9510, Prob > |t| = 0.0000).

**Conclusion** Ceramide can induce apoptosis by decreasing the expression of NF- $\kappa$ B via changing the ratio of Bcl-2/Bax in gastric cancer SGC7901 cells.

**Key words:** SGC7901 cells; Ceramide; NF- $\kappa$ B; Bcl-2; Bax

**摘要:** 目的 探讨神经酰胺(Ceramide, Cer)对胃癌 SGC7901 细胞的促凋亡作用及可能作用机制。方法 体外培养人胃癌 SGC7901 细胞, 分别给予 Cer、顺铂(DDP); DDP 联合 Cer 作用后, MTT 检测单独使用 Cer 及联合 DDP 应用对 SGC7901 细胞增殖的影响, 流式细胞仪检测细胞凋亡率, 免疫组织化学染色、Western blot 检测 SGC7901 细胞 NF- $\kappa$ B、Bcl-2、Bax 蛋白表达。结果 Cer 2.5  $\mu$ mol/L 及以上时可以抑制细胞增殖, 与对照组相比差异有统计学意义 ( $P < 0.05$ )。Cer 联合 DDP 后, 联合用药作用强于单独 DDP 及 Cer 组 ( $P < 0.05$ ),  $q$  值在 24, 48, 72 h 分别为 1.05, 1.01, 0.99。Cer, DDP 作用 48 h 可诱导 SGC7901 细胞凋亡, Cer 5  $\mu$ mol/L, DDP 2.5 mg/L 单独用药组及 Cer 5  $\mu$ mol/L 联合 DDP 2.5 mg/L 组凋亡率分别为:  $(39.23 \pm 1.62)\%$ ,  $(47.27 \pm 1.13)\%$ ,  $(50.13 \pm 2.76)\%$ , 与对照组 [ $(18.46 \pm 1.64)\%$ ] 相比差异有统计学意

义 ( $P < 0.05$ ), 联合用药作用强于单独 DDP 及 Cer 组 ( $P < 0.05$ )。NF- $\kappa$ B, Bcl-2 在 SGC7901 细胞中较高表达 [(74.10  $\pm$  2.69)%],  $(69.37 \pm 4.54)\%$ , Bax 在 SGC7901 细胞中表达较低 [(24.60  $\pm$  3.73)]%, Cer 5  $\mu$ mol/L, DDP 2.5 mg/L 单独用药组及 Cer 5  $\mu$ mol/L 联合 DDP 2.5 mg/L 组 NF- $\kappa$ B, Bcl-2 阳性表达率降低 ( $65.13 \pm 1.71$ ,  $62.17 \pm 2.12$ ,  $44.8 \pm 3.65$ ;  $57.70 \pm 2.22$ ,  $55.13 \pm 5.77$ 、 $37.67 \pm 2.14$ ), 而 Bax 表达增加 ( $33.80 \pm 1.10$ ,  $35.50 \pm 2.27$ ,  $51.73 \pm 3.76$ ) ( $P < 0.05$ )。Bcl-2/Bax 的比值降低, 表明 NF- $\kappa$ B 和 Bcl-2 的表达呈正相关 (Spearman's rho = 0.9510, Prob > |t| = 0.0000)。

收稿日期:2010-09-30;修回日期:2011-05-20

基金项目:江苏省教育厅自然科学基金资助项目(05KJD320234);徐州医学院肿瘤生物治疗重点实验室开放课题资助项目(C0806);江苏省卫生厅科研课题资助项目(Z201016)

作者单位:1. 221000 江苏徐州,徐州医学院病理学教研室;2. 徐州医学院附属医院消化内科

通信作者:朱祖安, E-mail: zuanwudi@yahoo.com.cn

作者简介:刘莹(1973-),女,硕士,副教授,主要从事肿瘤病理的研究

$37.67 \pm 2.14$ ), Bax 表达率上调( $33.80 \pm 1.10$ 、 $35.50 \pm 2.27$ 、 $51.73 \pm 3.76$ ), Bcl-2/Bax 比值降低( $1.71 \pm 0.10$ 、 $1.56 \pm 0.26$ 、 $0.73 \pm 0.09$ ), 与对照组相比差别有统计学意义( $P < 0.05$ )。联合用药作用强于单独 DDP 及 Cer 组( $P < 0.05$ )。相关性分析显示 NF- $\kappa$ B 与 Bcl-2 呈正相关(Spearman's rho = 0.9510, Prob > |t| = 0.0000)。

**结论** Cer 通过下调 NF- $\kappa$ B 进而调节 Bcl-2/Bax 比值诱导 SGC7901 细胞凋亡。

**关键词:** SGC7901 细胞; 神经酰胺; 核因子  $\kappa$ B; Bcl-2; Bax

**中图分类号:**R735.2   **文献标识码:**A

**文章编号:**1000-8578(2011)09-0991-04

## 0 引言

神经酰胺(Ceramide, Cer)是细胞膜组成成分,也是神经鞘磷脂信号途径的重要第二信使,其通过启动多种信号通路,在细胞增殖、分化和凋亡等多种生理病理过程中发挥调节功能,同时 Cer 还与血液、神经、消化、生殖系统等多种肿瘤的发生、发展密切相关<sup>[1-3]</sup>。近年来 Cer 作为一种潜在的肿瘤细胞凋亡治疗剂引起了国内外学者的广泛关注,研究显示 Cer 在细胞内的累积可以有效抑制肿瘤细胞生长,化疗药物及小分子鞘磷脂(sphingomyelin, SM)抑制剂均可通过提高细胞内 Cer 的含量来抑制肿瘤细胞生长<sup>[4-5]</sup>。另外,外源性 Cer 可诱导乳腺癌 MCF-7 细胞、结肠癌 HT-29 细胞凋亡和生长阻滞<sup>[6-7]</sup>,但 Cer 对于胃癌的作用研究尚未展开,因此本实验通过体外培养胃癌 SGC7901 细胞给予外源性 Cer 干预后观察肿瘤细胞生长、凋亡情况,探讨外源性 Cer 对胃癌细胞凋亡的诱导作用及可能作用机制。

## 1 材料与方法

### 1.1 实验材料

人胃腺癌细胞株 SGC7901 购自上海细胞生物医学研究所。Cer 购自美国 Cayman 公司,用 DMSO 配成  $80 \mu\text{mol/L}$  贮备液,-20°C 保存,实验时用 RPMI1640 培养液稀释至实验所需浓度。顺铂(Cisplatin, DDP)购自山东齐鲁制药有限公司。RPMI1640 购自美国 Gibco 公司,无支原体小牛血清购自杭州四季青生物工程材料有限公司,Avnnexin V-FITC 细胞凋亡检测试剂盒购自南京凯基生物发展有限公司,四甲基偶氮唑蓝(MTT)购自美国 Amresco 公司,NF- $\kappa$ B(sc-8008)、Bcl-2(sc-492),Bax(sc-493)购自美国 Santa Cruz 公司,Marker 购自 Fermentas 公司,型号 00012835。其他试剂均为分析纯级。

### 1.2 方法

#### 1.2.1 细胞培养条件

SGC7901 细胞培养于含有 10% 小牛血清、

100 u/ml 青霉素和 100  $\mu\text{g}/\text{ml}$  链霉素的 RPMI1640 培养液中,在 37°C、5%CO<sub>2</sub>饱和湿度培养箱中培养,用 0.5% 的胰酶消化传代,取对数生长期、细胞活力 >99% 的细胞用于实验。

### 1.2.2 四唑蓝比色实验(MTT 法)检测 Cer 单独使用及联合 DDP 应用对 SGC7901 细胞增殖的影响

SGC7901 细胞  $1 \times 10^5/\text{ml}$  接种于 96 孔培养板,每孔 100  $\mu\text{l}$ ,待 24h 细胞贴壁生长后换入含有 Cer、DDP 及联合药物的培养液干预,每组设 5 个复孔,重复 2 板。实验分为:阴性对照组;Cer 组( $1$ 、 $2$ 、 $5$ 、 $10 \mu\text{mol/L}$ ); DDP 组( $2.5 \text{ mg/L}$ ); DDP ( $2.5 \text{ mg/L}$ )联合 Cer 组( $5 \mu\text{mol/L}$ )。分别培养  $24$ 、 $48$ 、 $72 \text{ h}$ ,弃上清液,每孔避光加入  $5 \text{ g/L}$  MTT 液  $20 \mu\text{l}$ , $4 \text{ h}$  后每孔加入  $150 \mu\text{l}$  DMSO 振荡混匀,酶标仪测定  $490 \text{ nm}$  处的吸光度,计算抑制率。抑制率 =  $(1 - \text{给药组 OD 值} / \text{空白组 OD 值}) \times 100\%$ 。采用金正均法判断两药合用是否具有协同作用,公式:  $q = (Ea + b) / [(Ea + Eb) - Ea \times Eb]$ 。公式中 Ea 为 Cer 组的抑制率, Eb 为 DDP 组的抑制率, Ea + b 为联合用药组的抑制率。 $q$  值  $> 1.15$  表示两药有协同作用, $q$  值  $< 0.85$  表示两药有拮抗作用, $q$  值介于  $0.85 \sim 1.15$  之间表示两药有单纯相加作用。

### 1.2.3 流式细胞仪检测 Cer 单独使用及联合 DDP 应用对 SGC7901 细胞凋亡诱导作用

SGC7901 细胞以每孔  $2 \times 10^5/\text{ml}$  的细胞密度接种于 6 孔板,每孔  $2 \text{ ml}$ ,每组设 3 个复孔,24 h 后换入含有 Cer、DDP 及联合药物的培养液干预。实验分为:阴性对照组;Cer 组( $5 \mu\text{mol/L}$ ), DDP 组( $2.5 \text{ mg/L}$ ); DDP( $2.5 \text{ mg/L}$ )联合 Cer 组( $5 \mu\text{mol/L}$ )。培养  $48 \text{ h}$  后收集细胞,流式细胞术检测凋亡率。

### 1.2.4 免疫组织化学染色、Western blot 检测 Cer 单独使用及联合 DDP 应用对 SGC7901 细胞 NF- $\kappa$ B、Bcl-2、Bax 蛋白表达的影响

#### 1.2.4.1 SP 法检测 SGC7901 细胞 NF- $\kappa$ B、Bcl-2、Bax 蛋白的表达

SGC7901 细胞以每孔  $2 \times 10^5/\text{ml}$  的细胞密度接种于覆有盖玻片的 6 孔板,每孔  $5 \text{ ml}$ ,每组设 3 个复孔,24 h 后换入含有 Cer、DDP 及联合药物的培养液,实验分组同 1.2.3。培养  $48 \text{ h}$  取出玻片,PBS 冲洗,10% 中性甲醛固定进行 SP 法染色。Bcl-2、Bax 皆为胞质着色,NF- $\kappa$ B 为胞质都着色,以胞质中出现淡黄至棕黄色为阳性细胞。光学显微镜高倍镜下观察,随机选取 10 个视野,计算 1000 个细胞的阳性细胞数(即阳性细胞占计数细胞的百分比)。

### 1.2.4.2 蛋白印迹(Western blot assay)检测 SGC7901 细胞 NF-κB、Bcl-2、Bax 蛋白的表达

SGC7901 细胞  $2 \times 10^5$ /ml 6 ml, 置于 100 ml 培养瓶中, 24 h 后换入含有 Cer、DDP 及联合药物的培养液, 实验分组同 1.2.3。培养 48 h 后, 提取总蛋白, 蛋白定量后进行 SDS-聚丙烯酰胺凝胶电泳, 转膜后, 加入一抗: Bcl-2、Bax、NF-κB, 4℃过夜, 室温二抗培养 30 min(碱性磷酸酶标记的马抗小鼠、羊抗兔 IgG), NBT/BCIP 显色观察 NF-κB、Bcl-2、Bax 蛋白的表达。

### 1.3 统计学方法

采用 SPSS13.0 软件进行统计学处理, 计量资料采用  $\bar{x} \pm s$  表达, 组间比较采用单因素方差分析(One-way ANOVA), 相关性检验用 Spearman 相关分析, 相关性用相关系数  $r$  表示, 检验水准  $\alpha = 0.05$ ,  $P < 0.05$  为差异有统计学意义。

## 2 结果

### 2.1 单独使用 Cer 及联合 DDP 应用对 SGC7901 细胞增殖的影响

SGC7901 细胞与不同浓度的 Cer 共同培养, 细胞的生长受到不同程度的抑制。当 Cer 浓度达  $2.5 \mu\text{mol/L}$  及以上时, 与对照组相比差异有统计学意义( $P < 0.05$ ), 其抑制作用随浓度升高、时间的延长而增强。Cer 联合 DDP 后,  $q$  值在 24、48、72 h 分别为 1.05、1.01、0.99, 均介于 0.85~1.15 之间, 表示两药有单纯相加作用, 联合用药作用强于单独 DDP 及 Cer 组( $P < 0.05$ ), 见表 1。

### 2.2 Cer 单独使用及联合 DDP 应用对 SGC7901 细胞凋亡的影响

Cer、DDP 作用 48 h 可诱导 SGC7901 细胞凋亡, Cer 单用或联合应用 DDP 与对照组相比差别有统计学意义( $P < 0.05$ ), Cer 联用 DDP 作用强于 Cer、DDP 单用组, 见表 2。

表 1 单独使用 Cer 及联合 DDP 应用对 SGC7901 细胞增殖的影响( $\bar{x} \pm s, n = 10$ )

Table 1 The effect of ceramide and in combination with DDP on the proliferation of SGC7901 cells( $\bar{x} \pm s, n = 10$ )

Groups	24 h		48 h		72 h	
	OD	IR	OD	IR	OD	IR
Control	0.569 ± 0.027	0	0.573 ± 0.025	0	0.589 ± 0.026	0
Cer 1 $\mu\text{mol/L}$	0.542 ± 0.027	0.047 ± 0.022	0.543 ± 0.030	0.052 ± 0.030	0.552 ± 0.031	0.064 ± 0.028
Cer 2.5 $\mu\text{mol/L}$	0.520 ± 0.014 $^\triangle$	0.085 ± 0.046 $^\triangle$	0.512 ± 0.019 $^\triangle$	0.105 ± 0.050 $^\triangle$	0.505 ± 0.018 $^\triangle$	0.141 ± 0.045 $^\triangle$
Cer 5 $\mu\text{mol/L}$	0.494 ± 0.026 $^\triangle$	0.132 ± 0.017 $^\triangle$	0.481 ± 0.028 $^\triangle$	0.162 ± 0.029 $^\triangle$	0.476 ± 0.022 $^\triangle$	0.193 ± 0.020 $^\triangle$
Cer 10 $\mu\text{mol/L}$	0.423 ± 0.018 $^\triangle$	0.256 ± 0.030 $^\triangle$	0.384 ± 0.021 $^\triangle$	0.330 ± 0.046 $^\triangle$	0.366 ± 0.027 $^\triangle$	0.379 ± 0.035 $^{*\triangle}$
DDP 2.5 mg/L	0.424 ± 0.024 $^\triangle$	0.255 ± 0.019 $^\triangle$	0.398 ± 0.032 $^\triangle$	0.307 ± 0.044 $^\triangle$	0.380 ± 0.032 $^\triangle$	0.354 ± 0.062 $^\triangle$
DDP 2.5 mg/L+Cer 5 $\mu\text{mol/L}$	0.356 ± 0.025 $^{*\triangle}$	0.371 ± 0.067 $^{*\triangle}$	0.331 ± 0.023 $^{*\triangle}$	0.423 ± 0.034 $^{*\triangle}$	0.309 ± 0.016 $^{*\triangle}$	0.476 ± 0.030 $^{*\triangle}$

表 2 单独使用 Cer 及联合 DDP 应用 48 h 对 SGC7901 细胞凋亡的影响( $\bar{x} \pm s, n = 3$ )

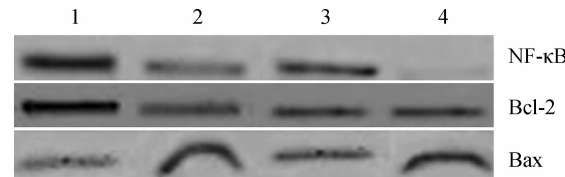
Table 2 The apoptosis rate of SGC7901 cells treated with ceramide and in combination with DDP ( $\bar{x} \pm s, n = 3$ )

Groups	Apoptosis rate(%)
Control	18.46 ± 1.64
Cer 5 $\mu\text{mol/L}$	39.23 ± 1.62 $^\triangle$
DDP 2.5 mg/L	47.27 ± 1.13 $^\triangle$
DDP 2.5 mg/L+Cer 5 $\mu\text{mol/L}$	50.13 ± 2.76 $^{*\triangle}$

Note:  $^\triangle$ : compared with control,  $P < 0.05$ ;  $^*$ : compared with Cer 5  $\mu\text{mol/L}$ , group, DDP 2.5 mg/L group,  $P < 0.05$

### 2.3 Cer 单独使用及联合 DDP 应用对 SGC7901 细胞 NF-κB、Bcl-2、Bax 表达的影响

NF-κB、Bcl-2 在 SGC7901 细胞中较高表达[(74.10 ± 2.69)%,(69.37 ± 4.54)%], Bax 在 SGC7901 细胞中表达较低[(24.60 ± 3.73)%], Cer 5  $\mu\text{mol/L}$  组、DDP 单独用药组及 Cer 5  $\mu\text{mol/L}$  联合 DDP 2.5 mg/L 组作用 48 h, NF-κB、Bcl-2 阳性表达率减少, Bax 表达率上调, Bcl-2/Bax 比值降低, 联合作用强于单独用药组( $P < 0.05$ ), 见表 3。Western blot 检测显示: NF-κB、Bcl-2 条带在阴性对照组表达最强, Bax 条带在阴性对照组表达最弱, 在给予 Cer、DDP 及联合用药后, NF-κB、Bcl-2 条带表达越来越弱, Bax 表达越来越强, 与免疫组织化学结果一致, 见图 1。



1:control group,2:Cer 5  $\mu\text{mol/L}$  group,3:DDP 2.5 mg/L group,4:DDP 2.5 mg/L in combination with Cer 5  $\mu\text{mol/L}$  group

图 1 Western blot 检测单独使用 Cer 及联合 DDP 应用对 SGC7901 细胞 NF-κB、Bcl-2、Bax 蛋白表达

Figure 1 The expressions of NF-κB, Bcl-2, Bax in SGC7901/DDP treated with ceramide and in combination with DDP detected by Western blot assay

Note:  $^\triangle$ : compared with control,  $P < 0.05$ ;  $^*$ : compared with Cer 5  $\mu\text{mol/L}$  group, DDP 2.5 mg/L group,  $P < 0.05$

表 3 单独使用 Cer 及联合 DDP 应用对 SGC7901 细胞 NF-κB、Bcl-2、Bax 蛋白表达的影响( $\bar{x} \pm s, n=10$ )Table 3 The expressions of NF-κB, Bcl-2, Bax in SGC7901/DDP treated with ceramide and in combination with DDP detected by immunocytochemical staining( $\bar{x} \pm s, n=10$ )

Groups	NF-κB	Bcl-2	Bax	Bcl-2/Bax
Control	74.10 ± 2.69	69.37 ± 4.54	24.60 ± 3.73	2.88 ± 0.60
Cer 5 μmol/L	65.13 ± 1.71 <sup>△</sup>	57.70 ± 2.22 <sup>△</sup>	33.80 ± 1.10 <sup>△</sup>	1.71 ± 0.10 <sup>△</sup>
DDP 2.5 mg/L	62.17 ± 2.12 <sup>△</sup>	55.13 ± 5.77 <sup>△</sup>	35.50 ± 2.27 <sup>△</sup>	1.56 ± 0.26 <sup>△</sup>
DDP 2.5 mg/L + Cer 5 μmol/L	44.8 ± 3.65 <sup>△*</sup>	37.67 ± 2.14 <sup>△*</sup>	51.73 ± 3.76 <sup>△*</sup>	0.73 ± 0.09 <sup>△*</sup>

Note: <sup>△</sup>: compared with control,  $P < 0.05$ ; \*: compared with Cer 5 μmol/L group, DDP 2.5 mg/L group,  $P < 0.05$

## 2.4 NF-κB、Bcl-2 相关性分析

NF-κB、Bcl-2 呈正相关 (Spearman's rho = 0.9510, Prob > |t| = 0.0000)。

## 3 讨论

Cer 的核心结构是以神经鞘糖醇为基础的鞘氨基醇,由丝氨酸和有活性的脂肪酸棕榈酰辅酶 A 缩合而成<sup>[1]</sup>,长度由 C14 到 C26 不等。Cer 在调节细胞增殖、存活和死亡中发挥重要作用<sup>[8]</sup>。诱导细胞凋亡的各种因素大多也是激活 Cer 途径的因素,例如肿瘤坏死因子、低氧等,因此提示 Cer 可以促进细胞凋亡<sup>[9]</sup>。鉴于 Cer 在调节细胞生长增殖中的作用,众多学者将其作用应用于肿瘤治疗,通过增加细胞 Cer 的含量来抑制肿瘤细胞生长,化疗药物如柔红霉素、喜树碱、吉西他滨等可通过从头合成途径或激活鞘磷脂酶来提高细胞内 Cer 的含量进而抑制肿瘤细胞生长<sup>[4-5]</sup>。一些增加细胞内 Cer 的小分子抑制剂已经被作用于部分肿瘤并取得明显效果。另外,研究显示外源性的 Cer 作用于肿瘤细胞可诱导细胞凋亡和生长阻滞<sup>[6-7, 10]</sup>。本实验结果显示胃癌 SGC7901 细胞与不同浓度的 Cer 共同培养,细胞的生长受到不同程度的抑制。其抑制作用随浓度升高及时间的延长而增强,Cer 与 DDP 对肿瘤的抑制有相加作用,因此提示 Cer 可以抑制胃癌细胞生长,可以通过与 DDP 联合应用从而达到降低 DDP 临床用量减轻其不良反应的目的。

Cer 通过核因子 κB (nuclear factor-kappaB, NF-κB)<sup>[11]</sup>、Bcl-2 蛋白家族<sup>[4]</sup>、Fas 蛋白<sup>[12]</sup>、Caspase 蛋白等<sup>[13]</sup>一系列信号转导途径调节着细胞周期、细胞分化与细胞凋亡。NF-κB 为一转录因子家族,参与感染、炎症、免疫反应的调节,同时 NF-κB 通过调节 Bcl-2、Bax、IAP 家族、Caspase、cyclinD 等基因的表达与细胞凋亡、细胞分化等肿瘤发生、浸润和转移过程密切相关<sup>[14-16]</sup>。Bcl-2 蛋白家族是参与细胞凋亡调节的关键因子<sup>[17]</sup>。该蛋白家族现已发现 15 个成员,依其功能可分为抗凋亡蛋白 Bcl-2、Bcl-x<sub>L</sub> 等和促凋亡蛋白 Bax、Bid、Bim 等。Bcl-2 蛋

白家族、线粒体细胞色素 c 和 Caspases 是细胞内凋亡信号通路的基本成分<sup>[18]</sup>。Bax 可促进细胞色素 c 释放,导致细胞凋亡,而 Bcl-2 及 Bcl-x<sub>L</sub> 抑制细胞色素 c 释出,阻断细胞凋亡通路。当 Bcl-2 或 Bcl-x<sub>L</sub> 形成同源或异源二聚体时可抑制细胞凋亡,而 Bax 与 Bid 形成的异源二聚体 Bid/Bax 或其自身形成的同源二聚体 Bax/Bax 可促进细胞凋亡,Bcl-2 与 Bax 形成的异源二聚体使彼此的抗凋亡和促凋亡活性相互抵消,两者之间的相对比例决定了细胞凋亡的发生与否<sup>[19-20]</sup>。本实验通过流式细胞仪检测凋亡率结果显示单独使用 Cer 可以诱导细胞凋亡,联合 DDP 与 Cer 使用后促凋亡作用强于单独用药组。单独使用 Cer 及联合 DDP 使用后 NF-κB、Bcl-2 阳性表达率减少,Bax 表达率上调,Bcl-2/Bax 比值降低,联合用药作用强于单独用药;相关性分析显示 NF-κB 与 Bcl-2 呈正相关。因此我们认为 Cer 通过下调 NF-κB 进而调节 Bcl-2/Bax 比值促使 SGC7901 细胞发生凋亡,联合使用 Cer 和化疗药物 DDP 促凋亡作用增强。

## 参考文献:

- [1] Bieberich E. Ceramide signaling in cancer and stem cells [J]. Future Lipidol, 2008, 3(3): 273-300.
- [2] Reynolds CP, Maurer BJ, Kolesnick RN. Ceramide synthesis and metabolism as a target for cancer therapy [J]. Cancer Lett, 2004, 206(2): 169-180.
- [3] Park JH, Schuchman EH. Acid Ceramidase and human disease [J]. Biochim Biophys Acta, 2006, 1758(12): 2133-2138.
- [4] Ogretmen B, Hannun YA. Biologically active sphingolipids in cancer pathogenesis and treatment [J]. Nat Rev Cancer, 2004, 4(8): 604-616.
- [5] Futerman AH, Hannun YA. The complex life of simple sphingolipids [J]. EMBO Rep, 2004, 5(8): 777-782.
- [6] Struckhoff AP, Patel B, Beckman BS. Inhibition of p53 sensitizes MCF-7 cells to ceramide treatment [J]. Int J Oncol, 2010, 37(1): 21-30.
- [7] Wang J, Lv X, Shi J, et al. Ceramide induces apoptosis via a peroxisome proliferator-activated receptor gamma-dependent pathway [J]. Apoptosis, 2006, 11(11): 2043-2052.

(下转第 1065 页)

可影响患者的 5 年生存率,治疗因素可影响患者的 5 年生存率。这提示肾癌术后的辅助治疗可能有一定的意义,但仍需要进一步明确哪些患者能从辅助治疗中获得益处。

由于本研究是回顾性分析,在病例的入组研究和患者治疗上的选择均有一定的偏倚,可能对我们的研究结果产生一定的影响。本组研究表明肾癌 TNM 分期是决定患者远期生存最主要因素,肾癌术后的辅助治疗的地位仍未确立,部分患者可能从辅助治疗中获得益处,目前尚不能在治疗前根据已有的因素判断哪些患者可以获得益处,从而实施更好的个体化治疗。这需要大的、设计严谨的、随访时间长的Ⅲ期临床试验来证实。

#### 参考文献:

- [1] DeVita VT, Lawrence TS, Rosenberg SA. *Cancer: Principles & Practice of Oncology*[M]. 8th ed. Philadelphia: Von Lippincott Williams & Wilkins, 2008: 1331-1358.
- [2] Linehan WM, Walther MM, Zbar B. The genetic basis of cancer of the kidney[J]. J Urol, 2003, 170(6 Pt 1): 2163-2172.
- [3] Greene FL, Compton CC, Fritz AG, et al. *AJCC cancer staging atlas*[M]. 6th ed. Berlin: Springer, 2006: 323-328.
- [4] Halperin EC, Perez CA, Brady LW, et al. *Principles and practice of radiation oncology*[M]. 4th ed. Philadelphia: Lippincott Williams & Wilkins, 2007: 1650-1663.
- [5] 郭三维,董柏君,黄翼然.肾癌预后分析的研究进展[J].国际泌尿系统杂志,2006,26(3):309-315.
- [6] 崔同跃,郭丽华,郭树宏,等.影响肾癌预后的因素[J].现代泌尿外科杂志,2009,14(1):42-44.

[编辑:刘红武;校对:安凤]

#### (上接第 994 页)

- [8] Modrak DE, Gold DV, Goldenberg DM. Sphingolipid targets in cancer therapy[J]. Mol Cancer Ther, 2006, 5(2): 200-208.
- [9] Pettus BJ, Chalfant CE, Hannun YA. Ceramide in apoptosis: an overview and current perspectives[J]. Biochim Biophys Acta, 2002, 1585(2-3): 114-125.
- [10] Ji C, Yang B, Yang YL, et al. Exogenous cell-permeable C6 ceramide sensitizes multiple cancer cell lines to Doxorubicin-induced apoptosis by promoting AMPK activation and mTORC1 inhibition[J]. Oncogene, 2010, 29(50): 6557-6568.
- [11] Kim WH, Choi CH, Kang SK, et al. Ceramide induces non-apoptotic cell death in human glioma cells [J]. Neurochem Res, 2005, 30(8): 969-979.
- [12] Cremesti A, Paris F, Grassmé H, et al. Ceramide enables fas to cap and kill[J]. J Biol Chem, 2001, 276(26): 23954-23961.
- [13] Schenck M, Carpintero A, Grassmé H, et al. Ceramide: physiological and pathophysiological aspects [J]. Arch Biochem Biophys, 2007, 462(2): 171-175.
- [14] Vermeulen L, Vandenberghe W, Haegeman G. Regulation of NF-kappaB transcriptional activity [J]. Cancer Treat Res, 2006, 130: 89-102.
- [15] Häcker H, Karin M. Regulation and function of IKK and IKK-related kinases [J]. Sci STKE, 2006, 2006(357): re13.
- [16] Lee SY, Yuk DY, Song HS, et al. Growth inhibitory effects of obovatol through induction of apoptotic cell death in prostate and colon canCer by blocking of NF-kappaB[J]. Eur J Pharmacol, 2008, 582(1-3): 17-25.
- [17] Fernández-Luna JL. Apoptosis regulators as targets for cancer therapy [J]. Clin Transl Oncol, 2007, 9(9): 555-562.
- [18] Topuridze ML, Kipiani VA, Pavliashvili NS, et al. Molecular mechanisms of apoptosis[J]. Georgian Med News, 2007, (150): 38-45.
- [19] Lalier L, Cartron PF, Juin P, et al. Bax activation and mitochondrial insertion during apoptosis[J]. Apoptosis, 2007, 12 (5): 887-896.
- [20] Adams JM, Cory S. Bcl-2-regulated apoptosis: mechanism and therapeutic potential [J]. Curr Opin Immunol, 2007, 19(5): 488-496.

[编辑:安凤;校对:刘红武]